

МЕХАНИКА

УДК 539.375

ВАРИАНТ ОПИСАНИЯ НАПРЯЖЕННО-ДЕФОРМИРОВАННОГО СОСТОЯНИЯ ПЛОСКОСТИ С ПОЛУБЕСКОНЕЧНОЙ ТРЕЩИНОЙ НА ОСНОВЕ КОНЦЕПЦИИ СЛОЯ ВЗАИМОДЕЙСТВИЯ ПРИ НОРМАЛЬНОМ ОТРЫВЕ

В.В. Глаголев, Л.В. Глаголев, А.А. Маркин

Тульский государственный университет,
кафедра математического моделирования.
E-mail: markin@tsu.tula.ru, vadim@tsu.tula.ru

Трещина рассматривается как физический разрез, а материал, лежащий на продолжении разреза, формирует слой взаимодействия между его берегами. Данный подход, в отличие от концепции математического разреза, позволяет установить законы изменения напряжений и деформаций в тупиковой области. Это дает возможность определять значения внешних нагрузок, соответствующие переходу слоя в пластическое состояние. На основании постулата о линейном законе распределения поля перемещений по толщине слоя получена система интегродифференциальных уравнений относительно перемещений его границ. Рассмотрен вариант численного решения поставленной задачи, проведено сравнение результатов для частного случая с известным асимптотическим решением.

Ключевые слова: характерный размер, граничное интегральное уравнение, линейная упругость.

Variant of the Description of the Intense-Deformed State of the Plane with the Semi-Infinite Flaw on the Basis of the Concept of the Stratum of Interaction at the Normal Separation

V.V. Glagolev, L.V. Glagolev, A.A. Markin

Tula State University,
Chair of Mathematical Modelling
E-mail: markin@tsu.tula.ru, vadim@tsu.tula.ru

The flaw is considered as a physical slit, and a material lying on continuation of a slit, shapes an interaction stratum between its coast sides. The given approach, unlike the concept of a mathematical slit, allows to establish laws of change of voltages and strains in deadlock field. It gives the chance to specify the values of exterior loadings corresponding to transition of a stratum in a plastic state. On the bases of a postulate on the linear distribution law of a field of travels on a thickness of a stratum the system of the integro-differential equations concerning travels of its boundaries is gained. The variant of the numerical solution of a task in view is viewed, comparison of effects for a special case with the known asymptotic solution is given.

Key words: characteristic size, boundary integrated equation, linear elasticity.

ВВЕДЕНИЕ

Механика квазихрупкого разрушения, базирующаяся на представлениях линейно-упругого тела рассматривает в качестве основной модели трещиноподобного дефекта математический разрез. В этом случае образование новых материальных поверхностей не связывается с разрушением материала в смысле использования критериев прочности. В качестве условия начала продвижения поверхности разрыва принимается критерий Гриффитса в энергетическом или силовом вариантах. Отметим, что данная модель описания трещино-



НАУЧНЫЙ
ОТДЕЛ



подобного дефекта эффективно работает для хрупкого [1] и квазихрупкого разрушения [2, 3], когда пластическая область в концевой области трещины достаточно мала в том плане, что позволяет вести описание напряженно-деформированного состояния (НДС) концевой области трещины в рамках асимптотических представлений линейной теории упругости. Зарождение пластической зоны в этом случае остается открытым. Отметим, что классическая модель Леонова – Панасюка – Дагдейла [4, 5] предполагает наличие пластической зоны в окрестности трещины при сколь угодно малой внешней нагрузке. Однако определение начала пластического деформирования в концевой области трещины является достаточно актуальным вопросом [6], в частности, при циклическом нагружении поврежденного материала [7].

Одним из подходов, позволяющих строить решения в рамках гипотез сплошной среды, является представление Макклинтока [8]. Следуя [8], в окрестности прохождения трещины выделяется слой некоторой толщины δ_0 , механические свойства которого не отличаются от окружающего материала, вплоть до начала разрушения, локализирующегося в данном слое. Предлагаемый подход позволяет установить значение внешних нагрузок, действующих по берегам разреза, при которых начинается пластическое деформирование. В статье [9] была решена задача для случая симметричного нагружения берегов разреза, исходя из постулата однородности НДС по толщине слоя.

В данной работе на основе идей [8] и обобщения [9] рассматривается одно модельное представление трещиноподобного дефекта, берега которого нагружены симметричной системой сил с целью определения начала пластического деформирования в концевой области. Задача сводится к системе интегродифференциальных сингулярных уравнений относительно четырех компонент перемещений границ. Предложен алгоритм приведения исходной системы к бесконечной системе линейных алгебраических уравнений. Для частного случая симметричного нагружения показано хорошее совпадение численного решения с асимптотическим представлением [10]. В отличие от работы [9], особенность разрешающей системы была понижена до логарифмической, что позволило использовать более высокую степень аппроксимации на граничном элементе, данное обстоятельство, в конечном итоге, существенно повысило скорость сходимости численного решения.

1. ПОСТАНОВКА ЗАДАЧИ

Рассмотрим бесконечную линейно-упругую плоскость, ослабленную физическим разрезом, толщиной δ_0 , с приложенной к его берегам внешней сосредоточенной нагрузкой, показанной на рисунке. Введенный характерный размер δ_0 считаем минимально допустимым с точки зрения выполнения гипотез механики сплошной среды. Материал, лежащий на мысленном продолжении разреза в плоскость, формирует некоторый материальный слой [11]. Оценки данного масштабного уровня обсуждаются в работах [11, 12].

Напряженное состояние слоя характеризуется тензором напряжений Коши [13] с компонентами $\sigma_{ij}(x_1, x_2)$, $i, j = 1, 2, 3$. Воспользуемся следующими обозначениями: $\sigma_{12}^+(x_2) = \sigma_{12}(\delta_0/2, x_2)$, $\sigma_{12}^-(x_2) = \sigma_{12}(-\delta_0/2, x_2)$, $\sigma_{11}^+(x_2) = \sigma_{11}(\delta_0/2, x_2)$, $\sigma_{11}^-(x_2) = \sigma_{11}(-\delta_0/2, x_2)$. При дальнейшем изложении положим $x_2 = x$. Нагрузка, приложенная к верхней части слоя, равна $\mathbf{q}^+(x) = (\sigma_{11}^+ \mathbf{e}_1 + \sigma_{12}^+ \mathbf{e}_2)$, а к нижней — $\mathbf{q}^-(x) = (\sigma_{11}^- \mathbf{e}_1 + \sigma_{12}^- \mathbf{e}_2)$. Отметим, что действие слоя на смежные полуплоскости равно по модулю и противоположно по направлению введенным векторам. Левый торец слоя OO' свободен от внешних нагрузок.

В силу малости толщины слоя будем считать распределение перемещений линейным по координате x_1 . Таким образом, вектор перемещения в слое запишем в виде

$$\mathbf{u}(x_1, x) = (u_{01}(x) + u_{11}(x)x_1)\mathbf{e}_1 + (u_{02}(x) + u_{12}(x)x_1)\mathbf{e}_2, \quad (1)$$

где $u_{01}(x) = u_1(x_1, x)|_{x_1=0}$, $u_{02}(x) = u_2(x_1, x)|_{x_1=0}$ — соответствующие перемещения срединной поверхности слоя,

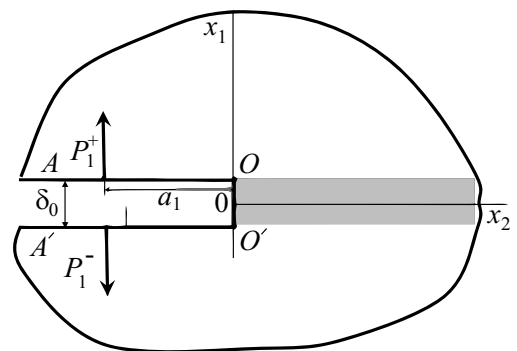


Схема нагружения берегов трещины



$$u_{11}(x) = \left. \frac{\partial u_1(x_1, x)}{\partial x} \right|_{x_1=0}, \quad u_{12}(x) = \left. \frac{\partial u_2(x_1, x)}{\partial x} \right|_{x_1=0}.$$

Введем обозначения граничных перемещений слоя:

$$\mathbf{u}^+ = u_1^+ \mathbf{e}_1 + u_2^+ \mathbf{e}_2, \quad (2)$$

$$\mathbf{u}^- = u_1^- \mathbf{e}_1 + u_2^- \mathbf{e}_2. \quad (3)$$

Из (1) с учетом (2) и (3) найдем:

$$u_{01} = 0.5(u_1^+ + u_1^-), \quad u_{02} = 0.5(u_2^+ + u_2^-), \quad (4)$$

$$u_{11} = \frac{1}{\delta_0}(u_1^+ - u_1^-), \quad u_{12} = \frac{1}{\delta_0}(u_2^+ - u_2^-). \quad (5)$$

Подставим (4) и (5) в (1), в результате получим:

$$\mathbf{u}(x_1, x) = \left[0.5(u_1^+ + u_1^-) + (u_1^+ - u_1^-) \frac{x_1}{\delta_0} \right] \mathbf{e}_1 + \left[0.5(u_2^+ + u_2^-) + (u_2^+ - u_2^-) \frac{x_1}{\delta_0} \right] \mathbf{e}_2,$$

или

$$\mathbf{u}(x_1, x) = \left[0.5u_1^+ \left(1 + \frac{2x_1}{\delta_0} \right) + 0.5u_1^- \left(1 - \frac{2x_1}{\delta_0} \right) \right] \mathbf{e}_1 + \left[0.5u_2^+ \left(1 + \frac{2x_1}{\delta_0} \right) + 0.5u_2^- \left(1 - \frac{2x_1}{\delta_0} \right) \right] \mathbf{e}_2. \quad (6)$$

Из (6) найдем компоненты тензора деформации:

$$\varepsilon_{11} = \frac{\partial u_1}{\partial x_1} = \frac{(u_1^+ - u_1^-)}{\delta_0}, \quad (7)$$

$$\varepsilon_{12} = \varepsilon_{21} = 0.5 \left(\frac{\partial u_1}{\partial x} + \frac{\partial u_2}{\partial x_1} \right) = 0.5 \left[0.5 \frac{\partial u_1^+}{\partial x} \left(1 + \frac{2x_1}{\delta_0} \right) + 0.5 \frac{\partial u_1^-}{\partial x} \left(1 - \frac{2x_1}{\delta_0} \right) + \frac{(u_2^+ - u_2^-)}{\delta_0} \right], \quad (8)$$

$$\varepsilon_{22} = \frac{\partial u_2}{\partial x} = 0.5 \left[\frac{\partial u_2^+}{\partial x} \left(1 + \frac{2x_1}{\delta_0} \right) + \frac{\partial u_2^-}{\partial x} \left(1 - \frac{2x_1}{\delta_0} \right) \right]. \quad (9)$$

Вычислим работу напряжений в слое:

$$\delta A^{(i)} = \int_0^\infty \int_{-\delta_0/2}^{\delta_0/2} \sigma_{ij} \delta \varepsilon_{ij} dx_1 dx. \quad (10)$$

Рассмотрим в выражении (10) отличные от нуля слагаемые с учетом представлений (7)–(9).

$$\int_0^\infty \int_{-\delta_0/2}^{\delta_0/2} \sigma_{11} \delta \varepsilon_{11} dx_1 dx = \int_0^\infty \int_{-\delta_0/2}^{\delta_0/2} \sigma_{11} \frac{(\delta u_1^+ - \delta u_1^-)}{\delta_0} dx_1 dx = \int_0^\infty \bar{\sigma}_{11} (\delta u_1^+ - \delta u_1^-) dx, \quad (11)$$

где $\bar{\sigma}_{11} = \frac{1}{\delta_0} \int_{-\delta_0/2}^{\delta_0/2} \sigma_{11} dx_1$ — среднее напряжение по слою.

$$\int_0^\infty \int_{-\delta_0/2}^{\delta_0/2} \sigma_{22} \delta \varepsilon_{22} dx_1 dx = 0.5 \int_0^\infty \int_{-\delta_0/2}^{\delta_0/2} \sigma_{22} \left[\left(1 + \frac{2x_1}{\delta_0} \right) \frac{\partial \delta u_2^+}{\partial x} + \left(1 - \frac{2x_1}{\delta_0} \right) \frac{\partial \delta u_2^-}{\partial x} \right] dx_1 dx. \quad (12)$$



Введем обозначения для величин средних напряжений и моментов в слое: $\bar{\sigma}_{22} = \frac{1}{\delta_0} \int_{-\delta_0/2}^{\delta_0/2} \sigma_{22} dx_1$,

$\bar{m}_{22} = \frac{1}{\delta_0} \int_{-\delta_0/2}^{\delta_0/2} \sigma_{22} x_1 dx_1$ и запишем (12) в следующей форме с учетом интегрирования по частям:

$$\int_0^{\infty} \int_{-\delta_0/2}^{\delta_0/2} \sigma_{22} \delta \varepsilon_{22} dx_1 dx = 0.5 \bar{\sigma}_{22} \delta_0 (\delta u_2^+ + \delta u_2^-) \Big|_0^{\infty} - 0.5 \delta_0 \int_0^{\infty} \frac{\partial \bar{\sigma}_{22}}{\partial x} (\delta u_2^+ + \delta u_2^-) dx +$$

$$+ \bar{m}_{22} (\delta u_2^+ - \delta u_2^-) \Big|_0^{\infty} - \int_0^{\infty} \frac{\partial \bar{m}_{22}}{\partial x} (\delta u_2^+ - \delta u_2^-) dx. \quad (13)$$

$$\int_0^{\infty} \int_{-\delta_0/2}^{\delta_0/2} \sigma_{12} \delta \varepsilon_{12} dx_1 dx = \int_0^{\infty} \int_{-\delta_0/2}^{\delta_0/2} \sigma_{21} \delta \varepsilon_{21} dx_1 dx =$$

$$= 0.5 \int_0^{\infty} \int_{-\delta_0/2}^{\delta_0/2} \sigma_{12} \left[0.5 \frac{\partial \delta u_1^+}{\partial x} \left(1 + \frac{2x_1}{\delta_0} \right) + 0.5 \frac{\partial \delta u_1^-}{\partial x} \left(1 - \frac{2x_1}{\delta_0} \right) + \frac{(\delta u_2^+ - \delta u_2^-)}{\delta_0} \right] dx_1 dx. \quad (14)$$

Используя обозначения $\bar{\sigma}_{12} = \frac{1}{\delta_0} \int_{-\delta_0/2}^{\delta_0/2} \sigma_{12} dx_1$, $\bar{m}_{12} = \frac{1}{\delta_0} \int_{-\delta_0/2}^{\delta_0/2} \sigma_{12} x_1 dx_1$, интегрируя по частям, преобразуем (14):

$$2 \int_0^{\infty} \int_{-\delta_0/2}^{\delta_0/2} \sigma_{12} \delta \varepsilon_{12} dx_1 dx = \int_0^{\infty} \bar{\sigma}_{12} (\delta u_2^+ - \delta u_2^-) dx + 0.5 \bar{\sigma}_{12} \delta_0 (\delta u_1^+ + \delta u_1^-) \Big|_0^{\infty} +$$

$$+ \bar{m}_{12} (\delta u_1^+ - \delta u_1^-) \Big|_0^{\infty} - \int_0^{\infty} \frac{\partial \bar{m}_{12}}{\partial x} (\delta u_1^+ - \delta u_1^-) dx. \quad (15)$$

В силу того что торцевая поверхность слоя не нагружена, а на бесконечности напряжения затухают, имеем:

$$\sigma_{12}(0) = \sigma_{22}(0) = \sigma_{12}(\infty) = \sigma_{22}(\infty) = 0. \quad (16)$$

Перепишем (13) и (15) с учетом (16):

$$\int_0^{\infty} \int_{-\delta_0/2}^{\delta_0/2} \sigma_{22} \delta \varepsilon_{22} dx_1 dx = -0.5 \delta_0 \int_0^{\infty} \frac{\partial \bar{\sigma}_{22}}{\partial x} (\delta u_2^+ + \delta u_2^-) dx - \int_0^{\infty} \frac{\partial \bar{m}_{22}}{\partial x} (\delta u_2^+ - \delta u_2^-) dx, \quad (17)$$

$$2 \int_0^{\infty} \int_{-\delta_0/2}^{\delta_0/2} \sigma_{12} \delta \varepsilon_{12} dx_1 dx = \int_0^{\infty} \bar{\sigma}_{12} (\delta u_2^+ - \delta u_2^-) dx - 0.5 \delta_0 \int_0^{\infty} \frac{\partial \bar{\sigma}_{12}}{\partial x} (\delta u_1^+ + \delta u_1^-) dx -$$

$$- \int_0^{\infty} \frac{\partial \bar{m}_{12}}{\partial x} (\delta u_1^+ - \delta u_1^-) dx. \quad (18)$$

Работу внешних сил на виртуальных перемещениях, действующих на слой по замкнутому контуру ℓ : $\delta A^{(e)} = \oint_{\ell} \mathbf{q} \cdot \delta \mathbf{u} dl$ с учетом (16), запишем в виде

$$\delta A^{(e)} = \int_0^{\infty} (q_1^+ \delta u_1^+ + q_2^+ \delta u_2^+ + q_1^- \delta u_1^- + q_2^- \delta u_2^-) dx. \quad (19)$$



Следуя принципу возможных перемещений $\delta A^{(e)} = \delta A^{(i)}$, приравняв члены при соответствующих вариациях в связях (10) и (19) с учетом (11), (17), (18), приходим к четырем дифференциальным зависимостям между средними напряжениями, моментами в слое и внешней нагрузкой по его границе:

$$q_1^+ = \bar{\sigma}_{11} - 0.5\delta_0 \frac{\partial \bar{\sigma}_{12}}{\partial x} - \frac{\partial \bar{m}_{12}}{\partial x}, \quad (20)$$

$$q_2^+ = \bar{\sigma}_{12} - 0.5\delta_0 \frac{\partial \bar{\sigma}_{22}}{\partial x} - \frac{\partial \bar{m}_{22}}{\partial x}, \quad (21)$$

$$q_1^- = -\bar{\sigma}_{11} - 0.5\delta_0 \frac{\partial \bar{\sigma}_{12}}{\partial x} + \frac{\partial \bar{m}_{12}}{\partial x}, \quad (22)$$

$$q_2^- = -\bar{\sigma}_{12} - 0.5\delta_0 \frac{\partial \bar{\sigma}_{22}}{\partial x} + \frac{\partial \bar{m}_{22}}{\partial x}. \quad (23)$$

Считаем, что связь между напряжениями и деформациями определена законом Гука для случая плоского деформирования:

$$\sigma_{11} = A\varepsilon_{11} + B\varepsilon_{22}, \quad (24)$$

$$\sigma_{22} = A\varepsilon_{22} + B\varepsilon_{11}, \quad (25)$$

$$\sigma_{12} = C\varepsilon_{12}, \quad (26)$$

где $A = \frac{E(1-\nu)}{(1+\nu)(1-2\nu)}$; $B = \frac{E\nu}{(1+\nu)(1-2\nu)}$; $C = \frac{E}{(1+\nu)}$, E – модуль упругости; ν – коэффициент Пуассона.

Из (24)–(26) с учетом (7)–(9) приходим к следующим представлениям средних напряжений, моментов и их производных через перемещения границ слоя:

$$\bar{\sigma}_{11} = \frac{A}{\delta_0} (u_1^+ - u_1^-) + \frac{B}{2} \left(\frac{\partial u_2^+}{\partial x} + \frac{\partial u_2^-}{\partial x} \right), \quad (27)$$

$$\bar{\sigma}_{22} = \frac{B}{\delta_0} (u_1^+ - u_1^-) + \frac{A}{2} \left(\frac{\partial u_2^+}{\partial x} + \frac{\partial u_2^-}{\partial x} \right), \quad \frac{\partial \bar{\sigma}_{22}}{\partial x} = \frac{B}{\delta_0} \left(\frac{\partial u_1^+}{\partial x} - \frac{\partial u_1^-}{\partial x} \right) + \frac{A}{2} \left(\frac{\partial^2 u_2^+}{\partial x^2} + \frac{\partial^2 u_2^-}{\partial x^2} \right), \quad (28)$$

$$\bar{\sigma}_{12} = \frac{C}{2\delta_0} (u_2^+ - u_2^-) + \frac{C}{4} \left(\frac{\partial u_1^+}{\partial x} + \frac{\partial u_1^-}{\partial x} \right), \quad \frac{\partial \bar{\sigma}_{12}}{\partial x} = \frac{C}{2\delta_0} \left(\frac{\partial u_2^+}{\partial x} - \frac{\partial u_2^-}{\partial x} \right) + \frac{C}{4} \left(\frac{\partial^2 u_1^+}{\partial x^2} + \frac{\partial^2 u_1^-}{\partial x^2} \right), \quad (29)$$

$$\bar{m}_{22} = \frac{A\delta_0}{12} \left(\frac{\partial u_2^+}{\partial x} - \frac{\partial u_2^-}{\partial x} \right); \quad \frac{\partial \bar{m}_{22}}{\partial x} = \frac{A\delta_0}{12} \left(\frac{\partial^2 u_2^+}{\partial x^2} - \frac{\partial^2 u_2^-}{\partial x^2} \right), \quad (30)$$

$$\bar{m}_{12} = \frac{C\delta_0}{24} \left(\frac{\partial u_1^+}{\partial x} - \frac{\partial u_1^-}{\partial x} \right); \quad \frac{\partial \bar{m}_{12}}{\partial x} = \frac{C\delta_0}{24} \left(\frac{\partial^2 u_1^+}{\partial x^2} - \frac{\partial^2 u_1^-}{\partial x^2} \right). \quad (31)$$

Подставив (27)–(31) в (20)–(23) получим выражения напряжений по границам слоя через граничные перемещения:

$$q_1^+ = \frac{A}{\delta_0} u_1^+ - \frac{A}{\delta_0} u_1^- - D1 \frac{\partial u_2^+}{\partial x} - D \frac{\partial u_2^-}{\partial x} - \frac{C\delta_0}{6} \frac{\partial^2 u_1^+}{\partial x^2} - \frac{C\delta_0}{12} \frac{\partial^2 u_1^-}{\partial x^2}, \quad (32)$$

$$q_1^- = -\frac{A}{\delta_0} u_1^+ + \frac{A}{\delta_0} u_1^- + D \frac{\partial u_2^+}{\partial x} + D1 \frac{\partial u_2^-}{\partial x} - \frac{C\delta_0}{12} \frac{\partial^2 u_1^+}{\partial x^2} - \frac{C\delta_0}{6} \frac{\partial^2 u_1^-}{\partial x^2}, \quad (33)$$

$$q_2^+ = \frac{C}{2\delta_0} u_2^+ - \frac{C}{2\delta_0} u_2^- + D1 \frac{\partial u_1^+}{\partial x} - D \frac{\partial u_1^-}{\partial x} - \frac{A\delta_0}{3} \frac{\partial^2 u_2^+}{\partial x^2} - \frac{A\delta_0}{6} \frac{\partial^2 u_2^-}{\partial x^2}, \quad (34)$$

$$q_2^- = -\frac{C}{2\delta_0} u_2^+ + \frac{C}{2\delta_0} u_2^- + D \frac{\partial u_1^+}{\partial x} - D1 \frac{\partial u_1^-}{\partial x} - \frac{A\delta_0}{6} \frac{\partial^2 u_2^+}{\partial x^2} - \frac{A\delta_0}{3} \frac{\partial^2 u_2^-}{\partial x^2}, \quad (35)$$

где $D = -\frac{E}{4(1+\nu)(1-2\nu)}$, $D1 = \frac{E(1-4\nu)}{(1+\nu)(1-2\nu)}$.

При дальнейшем изложении все величины, имеющие размерность длины, отнесем к толщине слоя δ_0 , а напряжений – к параметру $\beta = \frac{\pi E}{2(1-\nu^2)}$, получаемого в решении задачи Фламана [13].



Таким образом, выражения (32)–(35) запишем в безразмерном виде

$$q_1^+ = \alpha u_1^+ - \alpha u_1^- - d1 \frac{\partial u_2^+}{\partial x} - d \frac{\partial u_2^-}{\partial x} - \frac{c}{6} \frac{\partial^2 u_1^+}{\partial x^2} - \frac{c}{12} \frac{\partial^2 u_1^-}{\partial x^2}, \quad (36)$$

$$q_1^- = -\alpha u_1^+ + \alpha u_1^- + d \frac{\partial u_2^+}{\partial x} + d1 \frac{\partial u_2^-}{\partial x} - \frac{c}{12} \frac{\partial^2 u_1^+}{\partial x^2} - \frac{c}{6} \frac{\partial^2 u_1^-}{\partial x^2}, \quad (37)$$

$$q_2^+ = \frac{c}{2} u_2^+ - \frac{c}{2} u_2^- + d1 \frac{\partial u_1^+}{\partial x} - d \frac{\partial u_1^-}{\partial x} - \frac{\alpha}{3} \frac{\partial^2 u_2^+}{\partial x^2} - \frac{\alpha}{6} \frac{\partial^2 u_2^-}{\partial x^2}, \quad (38)$$

$$q_2^- = -\frac{c}{2} u_2^+ + \frac{c}{2} u_2^- + d \frac{\partial u_1^+}{\partial x} - d1 \frac{\partial u_1^-}{\partial x} - \frac{\alpha}{6} \frac{\partial^2 u_2^+}{\partial x^2} - \frac{\alpha}{3} \frac{\partial^2 u_2^-}{\partial x^2}, \quad (39)$$

где $d = -\frac{(1-\nu)}{2\pi(1-2\nu)}$, $d1 = \frac{(1-4\nu)(1-\nu)}{2\pi(1-2\nu)}$, $\alpha = \frac{2(1-\nu)^2}{\pi(1-2\nu)}$, $c = \frac{2(1-\nu)}{\pi}$, $x = x/\delta_0$ — безразмерная координата, $\sigma_{ij} = \sigma_{ij}/\beta$ — безразмерное напряжение, $u_i = u_i/\delta_0$ — безразмерное перемещение.

На основании решения задачи Фламана распределение перемещений точек границы верхней и нижней полуплоскости под действием нагрузок, действующих со стороны слоя, имеет вид

$$u_1^+(x) = -P_1^+ \ln \left(\frac{x + \alpha_1}{L + \alpha_1} \right) + \int_0^L q_1^+(\xi) \ln \frac{|x - \xi|}{L - \xi} d\xi, \quad (40)$$

$$u_2^+(x) = \int_0^L q_2^+(\xi) \ln \frac{|x - \xi|}{L - \xi} d\xi, \quad (41)$$

$$u_1^-(x) = P_1^- \ln \left(\frac{x + \alpha_1}{L + \alpha_1} \right) + \int_0^L q_1^-(\xi) \ln \frac{|x - \xi|}{L - \xi} d\xi, \quad (42)$$

$$u_2^-(x) = \int_0^L q_2^-(\xi) \ln \frac{|x - \xi|}{L - \xi} d\xi, \quad (43)$$

здесь α_1 — расстояние от вершины разреза до точки приложения безразмерной силы $P_1^+ = P_r^+/\delta_0\beta$, $P_1^- = P_r^-/\delta_0\beta$, P_r^+ , P_r^- — сила на единицу толщины образца; L — удаленная точка с нулевым перемещением (данную точку будем ассоциировать с бесконечно удаленной точкой), L — расстояние от начала координат до L ;

Подставив соответствующие выражения (36)–(39) в (40)–(43), приходим к системе интегро-дифференциальных уравнений относительно перемещений границ слоя.

$$u_1^+(x) = -P_1^+ \ln \left(\frac{x + \alpha_1}{L + \alpha_1} \right) + \int_0^L \left[\alpha u_1^+(\xi) - \alpha u_1^-(\xi) - d1 \frac{\partial u_2^+(\xi)}{\partial \xi} - d \frac{\partial u_2^-(\xi)}{\partial \xi} - \frac{c}{6} \frac{\partial^2 u_1^+(\xi)}{\partial \xi^2} - \frac{c}{12} \frac{\partial^2 u_1^-(\xi)}{\partial \xi^2} \right] \ln \frac{|x - \xi|}{L - \xi} d\xi, \quad (44)$$

$$u_2^+(x) = \int_0^L \left[\frac{c}{2} u_2^+(\xi) - \frac{c}{2} u_2^-(\xi) + d1 \frac{\partial u_1^+(\xi)}{\partial \xi} - d \frac{\partial u_1^-(\xi)}{\partial \xi} + \frac{\alpha}{3} \frac{\partial^2 u_2^+(\xi)}{\partial \xi^2} - \frac{\alpha}{6} \frac{\partial^2 u_2^-(\xi)}{\partial \xi^2} \right] \ln \frac{|x - \xi|}{L - \xi} d\xi, \quad (45)$$

$$u_1^-(x) = P_1^- \ln \left(\frac{x + \alpha_1}{L + \alpha_1} \right) - \int_0^L \left[\alpha u_1^+(\xi) - \alpha u_1^-(\xi) - d \frac{\partial u_2^+(\xi)}{\partial \xi} - d1 \frac{\partial u_2^-(\xi)}{\partial \xi} + \frac{c}{12} \frac{\partial^2 u_1^+(\xi)}{\partial \xi^2} + \frac{c}{6} \frac{\partial^2 u_1^-(\xi)}{\partial \xi^2} \right] \ln \frac{|x - \xi|}{L - \xi} d\xi, \quad (46)$$

$$u_2^-(x) = - \int_0^L \left[\frac{c}{2} u_2^+(\xi) - \frac{c}{2} u_2^-(\xi) - d \frac{\partial u_1^+(\xi)}{\partial \xi} + d1 \frac{\partial u_1^-(\xi)}{\partial \xi} + \frac{\alpha}{6} \frac{\partial^2 u_2^+(\xi)}{\partial \xi^2} + \frac{\alpha}{3} \frac{\partial^2 u_2^-(\xi)}{\partial \xi^2} \right] \ln \frac{|x - \xi|}{L - \xi} d\xi. \quad (47)$$



2. РЕШЕНИЕ ЗАДАЧИ

Рассмотрим численную процедуру решения полученной системы интегродифференциальных уравнений (44)–(47). Область интегрирования представим набором из n единичных элементов, в каждом из которых функция перемещения будет определяться квадратичной зависимостью вида

$$u_j(\xi) = L_{i,j}\xi^2 + M_{i,j}\xi + K_{i,j}, \quad (48)$$

где $j = 1, 2, i = 1 \dots n$.

Неизвестными на каждом элементе считаем узловые перемещения, отнесенные к краям и середине элемента. В этом случае имеют место следующие выражения постоянных $L_{i,j}, M_{i,j}, K_{i,j}$ конкретного элемента через узловые перемещения:

$$L_{i,j} = 2 \left(u_j^{1,i} - 2u_j^{2,i} + u_j^{3,i} \right), \quad M_{i,j} = 2 \left[-u_j^{1,i}(\xi_2 + \xi_3) + 2u_j^{2,i}(\xi_1 + \xi_3) - u_j^{3,i}(\xi_1 + \xi_2) \right],$$

$$K_{i,j} = 2 \left(u_j^{1,i}\xi_2\xi_3 - 2u_j^{2,i}\xi_1\xi_3 + u_j^{3,i}\xi_1\xi_2 \right),$$

где $u_j^{1,i}$ — перемещение левого края i -го элемента; $u_j^{2,i}$ — перемещение середины i -го элемента; $u_j^{3,i}$ — перемещение правого края i -го элемента; $\xi_1, \xi_2 = \xi_1 + 0.5, \xi_3 + 1$ — координаты соответствующих узлов. Для смежных элементов требуем непрерывности поля перемещений в общей точке: $u_j^{3,i} = u_j^{1,i+1}$.

С учетом (48) преобразуем систему интегродифференциальных уравнений (44)–(47):

$$u_1^+(x_s) = -P_1^+ \ln \left(\frac{x_s + \alpha_1}{n + \alpha_1} \right) + \sum_{i=1}^{i=n} \int_{\xi_{i-1}}^{\xi_i} \left[\alpha (L_{i,1}^+\xi^2 + M_{i,1}^+\xi + K_{i,1}^+) - \alpha (L_{i,1}^-\xi^2 + M_{i,1}^-\xi + K_{i,1}^-) - \right. \\ \left. -d1 (2L_{i,2}^+\xi + M_{i,2}^+) - d (2L_{i,2}^-\xi + M_{i,2}^-) - \frac{cL_{i,1}^+}{3} - \frac{cL_{i,1}^-}{6} \right] \ln \frac{|x_s - \xi|}{n - \xi} d\xi, \quad (49)$$

$$u_2^+(x_s) = \sum_{i=1}^{i=n} \int_{\xi_{i-1}}^{\xi_i} \left[\frac{c}{2} (L_{i,2}^+\xi^2 + M_{i,2}^+\xi + K_{i,2}^+) - \frac{c}{2} (L_{i,2}^-\xi^2 + M_{i,2}^-\xi + K_{i,2}^-) + \right. \\ \left. +d1 (2L_{i,1}^+\xi + M_{i,1}^+) - d (2L_{i,1}^-\xi + M_{i,1}^-) - \frac{2\alpha L_{i,2}^+}{3} - \frac{\alpha L_{i,2}^-}{3} \right] \ln \frac{|x_s - \xi|}{n - \xi} d\xi, \quad (50)$$

$$u_1^-(x_s) = P_1^- \ln \left(\frac{x_s + \alpha_1}{n + \alpha_1} \right) - \sum_{i=1}^{i=n} \int_{\xi_{i-1}}^{\xi_i} \left[\alpha (L_{i,1}^+\xi^2 + M_{i,1}^+\xi + K_{i,1}^+) - \alpha (L_{i,1}^-\xi^2 + M_{i,1}^-\xi + K_{i,1}^-) - \right. \\ \left. -d (2L_{i,2}^+\xi + M_{i,2}^+) - d1 (2L_{i,2}^-\xi + M_{i,2}^-) + \frac{cL_{i,1}^+}{6} + \frac{cL_{i,1}^-}{3} \right] \ln \frac{|x_s - \xi|}{n - \xi} d\xi, \quad (51)$$

$$u_2^-(x_s) = - \sum_{i=1}^{i=n} \int_{\xi_{i-1}}^{\xi_i} \left[\frac{c}{2} (L_{i,2}^+\xi^2 + M_{i,2}^+\xi + K_{i,2}^+) - \frac{c}{2} (L_{i,2}^-\xi^2 + M_{i,2}^-\xi + K_{i,2}^-) - \right. \\ \left. -d (2L_{i,1}^+\xi + M_{i,1}^+) + d1 (2L_{i,1}^-\xi + M_{i,1}^-) + \frac{\alpha L_{i,2}^+}{3} + \frac{2\alpha L_{i,2}^-}{3} \right] \ln \frac{|x_s - \xi|}{n - \xi} d\xi, \quad (52)$$

где x_s — глобальная узловая координата.

Таким образом, приходим к системе из $4(2n + 1)$ линейных алгебраических уравнений (в общем случае бесконечной $n \rightarrow \infty$) относительно $4(2n + 1)$ неизвестных узловых перемещений границы слоя $u_1^+(x_s), u_1^-(x_s), u_2^+(x_s), u_2^-(x_s)$.

3. АНАЛИЗ СИСТЕМЫ

Прежде всего отметим, что в полученной системе (49)–(52) имеют место интегралы от сингулярных функций вида $\int_{\xi_{i-1}}^{\xi_i} \xi^2 \ln \frac{|x_s - \xi|}{n - \xi} d\xi, \int_{\xi_{i-1}}^{\xi_i} \xi \ln \frac{|x_s - \xi|}{n - \xi} d\xi, \int_{\xi_{i-1}}^{\xi_i} \ln \frac{|x_s - \xi|}{n - \xi} d\xi$ для случая, когда узел x_s принадлежит i -му элементу.



Рассмотрим выражения следующих определенных интегралов:

$$\int_{\xi_{i-1}}^{\xi_i} \xi^2 \ln \left(\frac{|x_s - \xi|}{n - \xi} \right) d\xi = 1/3 [(\xi_i^3 - x_s^3) \ln(|x_s - \xi_i|) - (\xi_{i-1}^3 - x_s^3) \ln(|x_s - \xi_{i-1}|) + (n^3 - \xi_i^3) \times \\ \times \ln(n - \xi_i) - (n^3 - \xi_{i-1}^3) \ln(n - \xi_{i-1}) + 0.5(n - x_s)(\xi_i^2 - \xi_{i-1}^2) + (n^2 - x_s^2)(\xi_i - \xi_{i-1})], \quad (53)$$

$$\int_{\xi_{i-1}}^{\xi_i} \xi \ln \left(\frac{|x_s - \xi|}{n - \xi} \right) d\xi = 1/2 [(\xi_i^2 - x_s^2) \ln(|x_s - \xi_i|) - (\xi_{i-1}^2 - x_s^2) \ln(|x_s - \xi_{i-1}|) + \\ + (n^2 - \xi_i^2) \ln(n - \xi_i) - (n^2 - \xi_{i-1}^2) \ln(n - \xi_{i-1}) + (n - x_s)(\xi_i - \xi_{i-1})], \quad (54)$$

$$\int_{\xi_{i-1}}^{\xi_i} \ln \left(\frac{|x_s - \xi|}{n - \xi} \right) d\xi = (\xi_i - x_s) \ln(|x_s - \xi_i|) - (\xi_{i-1} - x_s) \ln(|x_s - \xi_{i-1}|) - \\ - (n - \xi_{i-1}) \ln(n - \xi_{i-1}) + (n - \xi_i) \ln(n - \xi_i). \quad (55)$$

Принимая во внимание, что $\lim_{\xi_i \rightarrow x_s} (x_s - \xi_i) \ln(|x_s - \xi_i|) = 0$, $\lim_{\xi_i \rightarrow x_s} (x_s^2 - \xi_i^2) \ln(|x_s - \xi_i|) = 0$, $\lim_{\xi_i \rightarrow x_s} (x_s^3 - \xi_i^3) \ln(|x_s - \xi_i|) = 0$ интегралы (53)–(55) на сингулярных элементах будем рассматривать в смысле главного значения.

Численный анализ системы (49)–(52) показал хорошую сходимость решения от количества рассматриваемых элементов. Это дает возможность перейти от бесконечной в общем случае системы к рассмотрению конечного числа уравнений при достаточно хорошем согласовании результата. Так при рассмотрении нагружения типа нормального отрыва окрестности трещиноподобного дефекта двумя сосредоточенными силами $P_1^+ = 1$, $P_1^- = 1$ (см. рисунок), приложенными на расстоянии $\alpha_1 = 5$ в таблице приведена зависимость перемещений в первой узловой точке от количества расчетных элементов n при $\nu = 0.2$.

Для остальных узловых точек тенденция, приведенная в таблице, имеет аналогичный характер.

Результаты расчетов

n	50	200	500	700	900	1000
u_1^+	0.3421	0.3556	0.3584	0.3590	0.3593	0.3594
u_1^-	-0.3421	-0.3556	-0.3584	-0.3590	-0.3593	-0.3594
u_2^+	-0.1143	-0.1524	-0.1757	-0.1841	-0.1864	-0.1867
u_2^-	-0.1143	-0.1524	-0.1757	-0.1841	-0.1864	-0.1867
$\bar{\sigma}_{11}^1$	0.0636	0.0907	0.1015	0.1040	0.1063	0.1071

Однако при численном решении системы (49)–(52) возникает вопрос о выборе количества граничных элементов, при котором можно говорить о некотором достоверном результате. В данном случае можно подобрать соответствующий параметр путем сравнения получаемого решения, например, с известным аналитическим решением. В качестве тестовой задачи рассмотрим результаты работы В. М. Ентова и Р. Л. Салганика [10], где упругие полупространства (см. рисунок) скреплены идеально хрупкими связями Л. Прандтля и нагружены симметричной сосредоточенной нагрузкой: $P_1^+ = P_1^-$. Взаимодействие хрупких связей с полуплоскостями эквивалентно нагрузке со стороны слоя взаимодействия с коэффициентом Пуассона $\nu = 0$. При этом в слое взаимодействия $\sigma_{22} = 0$. Выражение для расклинивающего усилия в этом случае может быть получено на основании асимптотического решения работы [10]. Приведем его в безразмерном виде:

$$P^{(\alpha)} = \frac{\sigma_{11}^{(0)}}{2} \sqrt{\pi \alpha}, \quad (56)$$

где $\sigma_{11}^{(0)}$ — безразмерное напряжение в вершине разреза, $\alpha \gg 1$.

Так, для единичной силы и $\alpha = 100$ из формулы (56) получаем $\sigma_{11}^{(0)} = 0.1128$. В таблице представлено значение среднего напряжения в первом узле $\bar{\sigma}_{11}^1$ в зависимости от количества расчетных



элементов при $P_1^+ = P_1^- = 1$, $\alpha = 100$, $\nu = 0$. Из представленных результатов видно, что при анализе концевой области достаточно с хорошей степенью точности ограничится 1000 элементами. В дальнейшем все результаты будут приведены для $n = 1000$.

Напряженное состояние слоя в каждом из его элементов можно характеризовать средним напряжением и деформациями, определяемыми по формулам:

$$\hat{\sigma}_{ij}^k = \int_{\xi}^{\xi+1} \bar{\sigma}_{ij}^k dx, \quad \hat{\varepsilon}_{ij}^k = \int_{-1/2}^{1/2} \int_{\xi}^{\xi+1} \varepsilon_{ij}^k dx_1 dx, \quad (57)$$

где $\xi, \xi + 1$ — координаты k -го единичного элемента; $\bar{\sigma}_{ij}^k$ — среднее напряжение по толщине слоя; ε_{ij}^k — деформация слоя в пределах k -го элемента. Следуя дискретной модели [14], переход из упругого состояния в пластическое [15] или в состояние разрушения будем рассматривать относительно неделимого элементарного объекта — квадрата со стороной δ_0 . Соответствующие критерии в данном случае будем относить к средним характеристикам в смысле (57).

Отметим, что аналогичным образом можно определять начало процесса хрупкого разрушения, рассматривая в качестве критерия, например деформационный [16, 17], либо критерий максимального главного растягивающего напряжения [18].

Работа выполнена при финансовой поддержке РФФИ (проект 10-01-97500) и Федеральной целевой программы «Научные и научно-педагогические кадры инновационной России» (контракт П1125).

Библиографический список

1. Черепанов, Г. П. Механика хрупкого разрушения / Г. П. Черепанов. — М.: Наука, 1974. — 640 с.
2. Панасюк, В. В. Механика квазихрупкого разрушения материалов / В. В. Панасюк. — Киев: Наук. думка, 1991. — 416 с.
3. Черных, К. Ф. Введение в физически и геометрически нелинейную теорию трещин / К. Ф. Черных. — М.: Наука, 1996. — 288 с.
4. Dugdale, D. S. Yielding of steel sheets containing slits / D. S. Dugdale // J. Mech. and Phys. Solids. — 1960. — V. 8, № 2. — P. 100–108.
5. Леонов, М. Я. Развитие мельчайших трещин в твердом теле / М. Я. Леонов, В. В. Панасюк // Прикладная механика. — 1959. — Т. 5, № 4. — С. 391–401.
6. Клевцов, Г. В. Микро- и макрозоны пластической деформации как критерии предельного состояния материала при разрушении / Г. В. Клевцов, Л. Р. Ботвина // Проблемы прочности. — 1984. — № 4. — С. 24–28.
7. Новожилов, В. В. О перспективах построения критерия прочности при сложном нагружении / В. В. Новожилов, О. В. Рыбакина // Прочность при малом числе циклов нагружения. — М.: Наука, 1969. — С. 71–80.
8. Макклиток, Ф. Пластические аспекты разрушения / Ф. Макклиток // Разрушение. — М.: Мир, 1975. — Т. 3. — С. 67–262.
9. Глаголев, В. В. Дискретно-континуальная модель процесса симметричного разделения / В. В. Глаголев, А. А. Маркин, Т. А. Мерцалова // Прикладная механика и техническая физика. — 2009. — Т. 50, № 1. — С. 134–140.
10. Ентов, В. М. К модели хрупкого разрушения Прандтля / В. М. Ентов, Р. Л. Салганик // Изв. АН СССР. Механика твердого тела. — 1968. — № 6. — С. 87–99.
11. Глаголев, В. В. Определение термомеханических характеристик процесса разделения / В. В. Глаголев, А. А. Маркин // Изв. РАН. Механика твердого тела. — 2007. — № 6. — С. 101–112.
12. Глаголев, В. В. Оценка толщины слоя взаимодействия как универсального параметра материала / В. В. Глаголев, А. А. Маркин // Изв. РАН. Механика твердого тела. — 2006. — № 5. — С. 194–203.
13. Лурье, А. И. Теория упругости / А. И. Лурье. — М.: Наука, 1970. — 939 с.
14. Новожилов, В. В. О необходимом и достаточном критерии хрупкой прочности / В. В. Новожилов // ПММ. — 1969. — № 2. — С. 212–222.
15. Ильюшин, А. А. Пластичность. Основы общей математической теории / А. А. Ильюшин. — М.: Изд-во АН СССР, 1963. — 272 с.
16. Дегтярев, В. П. Деформации и разрушение в высоконапряженных конструкциях / В. П. Дегтярев. — М.: Машиностроение, 1987. — 105 с.
17. Махутов, Н. А. Деформационные критерии разрушения и расчет элементов конструкций на прочность / Н. А. Махутов. — М.: Машиностроение, 1981. — 270 с.
18. Weighard, K. Uber Spalter und Zerressen elastischer Korper / K. Weighard // Zeitsehr. Fur Math. Und Phys. — 1907. — Bd. 55, № 1/2. — S. 60–103.